

# Teilchen im elektromagnetischen Feld

## 1) Hamilton operator

Elektromagnetisches Feld  $\vec{E}, \vec{B}$  wird beschrieben durch Potentiale  $\phi(\vec{x}, t), \vec{A}(\vec{x}, t)$ :

$$\vec{E} = -\nabla\phi - \frac{1}{c} \frac{\partial \vec{A}}{\partial t}$$

$$\vec{B} = \nabla \times \vec{A}$$

Betrachte dann Bewegung eines Teilchens der Masse  $m$  und Ladung  $e$  in diesem Feld.

Hamilton-Funktion ist klassisch

$$H = \frac{1}{2m} (\vec{p} - \frac{e}{c} \vec{A})^2 + e\phi,$$

wobei  $\vec{p}$  kanonischer Impuls.

(Diese Hamilton-Fkt. führt auf die bekannte Lorentzkraft.)

Gemäß Korrespondenzprinzip erhält man den q.m. Hamiltonoperator durch Ersetzung

$$\vec{x} \rightarrow \hat{Q} \text{ Ortsoperator}$$

$$\vec{p} \rightarrow \hat{P} \text{ Impulsoperator.}$$

Wir haben also als Hamilton-Operator

$$H = \frac{1}{2m} \left( \vec{\Pi} - \frac{e}{c} \vec{A}(\vec{Q}, t) \right)^2 + e\phi(\vec{Q}, t)$$

und die zugehörige zeitabhängige Schrödingergleichung

$$i\hbar \frac{\partial}{\partial t} |\psi\rangle = H |\psi\rangle.$$

Das ergibt in Ortsdarstellung

$$H(\vec{A}, \phi) = \frac{1}{2m} \left( -i\hbar \nabla - \frac{e}{c} \vec{A}(\vec{x}, t) \right)^2 + e\phi(\vec{x}, t) \quad (1)$$

Die Größe  $\left( \vec{p} - \frac{e}{c} \vec{A} \right)$  nennt man oft den "kinetischen Impuls",

$$\vec{\Pi} = m \dot{\vec{x}} = \vec{p} - \frac{e}{c} \vec{A}.$$

Beachte, daß die Komponenten des entsprechenden kinetischen Impuls-Operators

$$\vec{\Pi} = -i\hbar \nabla - \frac{e}{c} \vec{A}(\vec{x}, t) \quad (\text{in Ortsdarst.})$$

nicht miteinander vertauschen:

$$[\Pi_i, \Pi_j] = i\hbar \frac{e}{c} \epsilon_{ijk} B_k.$$

## 2) Eichinvarianz

In klassischer Elektrodynamik sind die Potentiale nur Hilfsgrößen. Für jede Funktion  $\Lambda(\vec{x}, t)$  ergeben sich aus den ungleichten Potentiale

$$\left. \begin{aligned} \vec{A}' &= \vec{A} - \nabla \Lambda \\ \phi' &= \phi + \frac{1}{c} \frac{\partial \Lambda}{\partial t} \end{aligned} \right\} (2)$$

dieselben beobachtbaren Felder  $\vec{E}, \vec{B}$ .

Hier treten die Potentiale aber direkt im Hamiltonoperator (und damit in der Schrödingergleichung) auf!

Die Eichtransformation (2) kann aber durch eine entsprechende Phasentransformation der Wellenfunktion kompensiert werden.

Es gilt:

Die Schrödingergleichung

$$i\hbar \frac{\partial}{\partial t} \psi = H(\vec{A}, \phi) \psi$$

mit dem Hamiltonoperator (1) bleibt bei Umwidmung der Potentiale nach (2) und der Phasentransformation der Wellenfunktion

$$\psi'(\vec{x}, t) = \exp\left[-\frac{ie}{\hbar c} \Lambda(\vec{x}, t)\right] \psi(\vec{x}, t) \quad (3)$$

ihre Form, d.h.

$$i\hbar \frac{\partial}{\partial t} \psi' = H(\vec{A}', \phi') \psi' \quad (4)$$

Beweis:

Betrachte linke Seite von (4) (mit (3)):

$$i\hbar \frac{\partial}{\partial t} \psi' = \exp\left(-\frac{ie}{\hbar c} \Lambda\right) i\hbar \left[ -\frac{ie}{\hbar c} \frac{\partial \Lambda}{\partial t} \psi + \frac{\partial \psi}{\partial t} \right]$$

Für die rechte Seite berechne zunächst

$$\begin{aligned} (-i\hbar \nabla - \frac{e}{c} \vec{A}') \exp\left(-\frac{ie}{\hbar c} \Lambda\right) \psi &= \\ &= \exp\left(-\frac{ie}{\hbar c} \Lambda\right) (-i\hbar \nabla - \frac{e}{c} \vec{A}) \psi \end{aligned}$$

woraus folgt

$$\begin{aligned} \frac{1}{2m} (-it\hbar \nabla - \frac{e}{c} \vec{A})^2 \psi' &= \\ &= \frac{1}{2m} \exp\left(-\frac{ie}{\hbar c} \Lambda\right) (-it\hbar \nabla - \frac{e}{c} \vec{A})^2 \psi. \end{aligned}$$

Damit wird (4) zu

$$\begin{aligned} \exp\left(-\frac{ie}{\hbar c} \Lambda\right) it\hbar \frac{\partial \psi}{\partial t} + \exp\left(-\frac{ie}{\hbar c} \Lambda\right) \frac{e}{c} \frac{\partial \Lambda}{\partial t} \psi &= \\ = \exp\left(-\frac{ie}{\hbar c} \Lambda\right) \frac{1}{2m} (-it\hbar \nabla - \frac{e}{c} \vec{A})^2 \psi &+ \\ + \exp\left(-\frac{ie}{\hbar c} \Lambda\right) \left[ e\phi + \frac{e}{c} \frac{\partial \Lambda}{\partial t} \right] \psi, \end{aligned}$$

was äquivalent ist zu

$$it\hbar \frac{\partial \psi}{\partial t} = \frac{1}{2m} (-it\hbar \nabla - \frac{e}{c} \vec{A})^2 \psi + e\phi \psi,$$

d.h. zur Schrödingergl. für die ursprünglichen Potentiale.

□

Beachte: die Phase der transformierten Wellenfunktion  $\psi'$  ist nicht messbar!  
(Wahrscheinlichkeitsdichte  $\sim |\psi|^2$ ).

Man kann auch umgekehrt vorgehen:

Bei elektrisch geladenen Teilchen ändern sich die beobachtbaren Größen nicht, wenn man "global umlicht",

$$\psi \rightarrow e^{i\alpha} \psi \quad \text{mit } \alpha \in \mathbb{R}.$$

Bei ausgedehnten Systemen bedingt dies einen "Faserparallelismus" (H. Weyl).

Sein Vorschlag: Fordere lokale

Eichinvarianz (3). Dann muß es Potentiale  $\vec{A}, \phi$  geben, die wie in (1) im Hamiltonoperator stehen und nach (2) umgeleitet werden.

Dieses Eichprinzip bildet die Grundlage der wichtigsten fundamentalen Theorien der heutigen Physik. Beispiele sind:

Elektrodynamik (bzw. QED),

elektroschwache Theorie, QCD,

allgemeine Relativitätstheorie.

### 3) Aharonov - Bohm - Effekt -

Effekte von  $\vec{A}$  im magnetfeldfreien Raum

Auch wenn Teilchen sich nur im magnetfeldfreien Raum bewegen, können Effekte durch  $\vec{A}$  auftreten - falls das Gebiet, in dem die Teilchen sich bewegen, nicht einfach zusammenhängend ist.

Betrachte eine Spule entlang der z-Achse, unendlich lang mit Radius  $R_s$ . Innerhalb der Spule ist Magnetfeld konstant,  $\vec{B} = (0, 0, B)$ . Außerhalb der Spule ist das Magnetfeld null,  $\vec{B} = 0$ .

Das zugehörige Vektorpotential  $\vec{A}$  muß aber auch außerhalb der Spule von null verschieden sein! Betrachte hierzu Linienintegral entlang Kreis mit Radius  $R > R_s$  in x-y-Ebene, der Spule umschließt.

Für das Linienintegral gilt (Stokes)

$$\oint \vec{A}(\vec{x}'(s)) d\vec{s} = \int_{\mathbb{F}} (\nabla \times \vec{A}) dx dy$$

mit

$$\mathbb{F}: x^2 + y^2 \leq R^2.$$

Da  $\nabla \times \vec{A} = \vec{B}$  also

weil Weg  
Spule umschließt

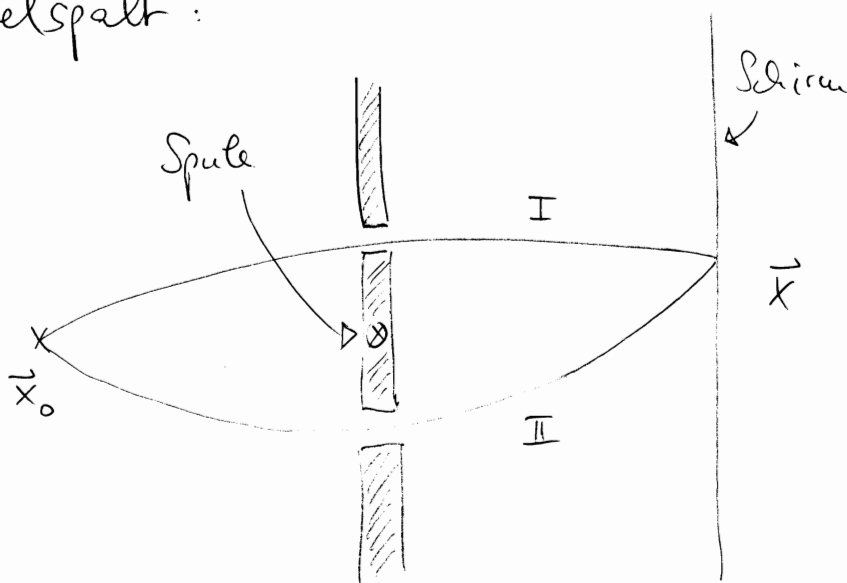


$$\oint \vec{A}(\vec{x}'(s)) d\vec{s} = \int_{\mathbb{F}} \vec{B} dx_1 dx_2 = \Phi_m \neq 0$$

wobei  $\Phi_m$  der magnetische Fluß durch  $\mathbb{F}$  ist.

Aharonov - Bohm - Effekt (s.a. Übungen)

Betrachte folgende Versuchsanordnung mit Doppelspalt:



Sei  $\psi^{\mathbb{F}}(\vec{x}, t)$  Lösung der Schrödingergl., die Elektronenstrahl entlang Pfad I beschreibt.



Die Lösung bei eingeschaltetem Feld  
hängt mit der Lösung bei ausgeschaltetem  
Feld zusammen: ( $\rightarrow$  Übung)

$$\psi_{\mathcal{B}}^{\mathcal{I}}(\vec{x}) = \exp\left(\frac{ie}{\hbar c} \Lambda_{\mathcal{I}}(\vec{x})\right) \psi_{\mathcal{B}=0}^{\mathcal{I}}(\vec{x})$$

mit

$$\Lambda_{\mathcal{I}}(\vec{x}) = \int_{\mathcal{I}(\vec{x}_0, \vec{x})} \vec{A}(\vec{x}'(s)) \cdot d\vec{s}$$

$\leftarrow$  Linienintegral entlang  
Weg  $\mathcal{I}$

d.h.

$$\begin{aligned} (-i\hbar\nabla - \frac{e}{c} \vec{A}(\vec{x}))^2 \exp\left[\frac{ie}{\hbar c} \Lambda_{\mathcal{I}}(\vec{x})\right] \psi_{\mathcal{B}=0}^{\mathcal{I}} &= \\ &= \exp\left[\frac{ie}{\hbar c} \Lambda_{\mathcal{I}}(\vec{x})\right] (-i\hbar\nabla)^2 \psi_{\mathcal{B}=0}^{\mathcal{I}}, \end{aligned}$$

Wenn also  $\psi_{\mathcal{B}=0}^{\mathcal{I}}$  Lösung der Schrödingergl.  
ohne Feld, so ist  $\psi_{\mathcal{B}}^{\mathcal{I}}$  Lösung mit  
Feld. Analog erhält man Lösung für  
Pfad  $\mathcal{II}$ .

Wenn bei ausgeschaltetem Feld an  
der Stelle  $\vec{x}$  (zum Beispiel) Auslöschung  
vorliegt, bekommen die Wege  $\mathcal{I}$  und  $\mathcal{II}$   
bei eingeschaltetem Feld zusätzliche  
Phasendifferenz,

$$\begin{aligned} \frac{ie}{\hbar c} \Lambda_{\text{I}}(\vec{x}) - \frac{ie}{\hbar c} \Lambda_{\text{II}}(\vec{x}) &= \frac{ie}{\hbar c} \oint \vec{A}(\vec{x}'(s)) \overline{ds} \\ &= \frac{ie}{\hbar c} \int \mathbb{B} \, dx_1 \, dx_2 \\ &= \frac{ie}{\hbar c} \Phi_m \end{aligned}$$

↑  
magnetischer Fluß durch  
Querschnitt d. Spule

weil der aus I und II zusammengesetzte  
Weg die Spule umschließt.

→ Das Interferenzmuster ändert sich!

Beachte: Die Elektronen bewegen sich  
ausschließlich im magnetfeldfreien Raum,  
wo  $\vec{\mathbb{B}} = 0$  (aber  $\vec{A} \neq 0$ )!

Demnach hängt die (meßbare)  
Phasenverschiebung nicht von  $\vec{A}$  selbst  
ab, sondern vom meßbaren Fluß  
des Magnetfelds durch die von  
I und II eingeschlossene Fläche!

Dieses Prinzip findet Anwendung in SQUIDS  
(“superconducting quantum interference device”)  
zur Messung kleiner Magnetfelder,  
→ sehr empfindlich!, typische Einheit  $\frac{\hbar c}{e} = 0.66 \cdot 10^{-7} \text{ Gau}^2$

#### 4) Elimination des Potentials, konstantes Magnetfeld

Es ist immer möglich, das Potential  $\vec{A}$  aus dem Hamiltonoperator zu eliminieren.

Wir wollen dies hier für ein konstantes Magnetfeld  $\vec{B}$  betrachten.

Wir wählen die sog. "koordinatenrichtung"  
 $\vec{x} \cdot \vec{A} = 0$ ,  $\vec{A}(\vec{0}) = 0$ .

Für statisches Feld gilt

$$\vec{A}(\vec{x}) = \int_0^1 d\lambda \lambda [\vec{B}(\lambda \vec{x}) \times \vec{x}],$$

wie man explizit nachrechnet.

Dieser Zusammenhang ist nicht-lokal,  
d.h.  $\vec{B}$  muß auf gesamten Strahl  
von  $\vec{0}$  nach  $\vec{x}$  bekannt sein, um  
 $\vec{A}(\vec{x})$  zu erhalten.

Für konstantes Magnetfeld vereinfacht  
sich das Integral zu

$$\vec{A}(\vec{x}) = \frac{1}{2} (\vec{B} \times \vec{x})$$

Damit (und mit  $\phi = 0$ ) wird der Hamiltonoperator

$$\begin{aligned} H &= \frac{1}{2m} \left( -i\hbar \nabla - \frac{e}{2c} (\vec{B} \times \vec{x}) \right)^2 \\ &= \frac{1}{2m} \left( -\hbar^2 \nabla^2 - 2(-i\hbar) \frac{e}{2c} (\vec{B} \times \vec{x}) \cdot \nabla + \left( \frac{e}{2c} \right)^2 |\vec{B} \times \vec{x}|^2 \right) \end{aligned}$$

wobei  $\nabla \cdot (\vec{B} \times \vec{x}) = 0$  benutzt wurde.

Es ist

$$\begin{aligned} -i\hbar (\vec{B} \times \vec{x}) \cdot \nabla &= -i\hbar \sum_{j,k,l} \epsilon_{jkl} B_j x_k \partial_l \\ &= -i\hbar \vec{B} \cdot (\vec{x} \times \nabla) \\ &= \vec{B} \cdot \vec{L} \end{aligned}$$

und damit

$$H = -\frac{\hbar^2}{2m} \nabla^2 - \frac{e}{2mc} \vec{B} \cdot \vec{L} + \frac{1}{2m} \left( \frac{e}{2c} \right)^2 |\vec{B} \times \vec{x}|^2$$

Für  $\vec{B} = (0, 0, B)$  also

$$H = -\frac{\hbar^2}{2m} \nabla^2 - \frac{e}{2mc} B \vec{L}_3 + \frac{1}{2m} \left( \frac{e}{2c} \right)^2 B^2 (x_1^2 + x_2^2)$$

Unter Laborbedingungen ist im Atom oft  $\frac{1}{2m} \left( \frac{e}{2c} \right)^2 |\vec{B} \times \vec{x}|^2 \ll \frac{e}{mc} B \hbar$  und damit vernachlässigbar. Ausnahme: starke Felder, oder wenn  $\langle L_3 \rangle = 0$ .

Der zweite Term,  $-\frac{e}{2m_e} \vec{L} \cdot \vec{B}$ , trägt zum Paramagnetismus bei. Der dritte Term,  $\frac{1}{2m} \left(\frac{e}{2c}\right)^2 |\vec{B} \times \vec{r}|^2$ , ergibt den Diamagnetismus.

### 5) Zeeman - Effekt (s. e. Übungen)

Für ein Wasserstoffatom in (schwachen) Magnetfeld erhalten wir also den Hamiltonoperator

$$H = H_0 - \frac{e}{2m_e} \vec{B} \cdot \vec{L}$$

← Masse  $m_e$ , um Verwechslung mit  $L_z$ -Quantenzahl zu vermeiden

wobei  $H_0$  der Hamiltonoperator für ein Elektron im Coulombpotential ist,

$$H_0 = -\frac{\hbar^2}{2m} \nabla^2 - \frac{e^2}{r}$$

Wir wollen hier den Spin des Elektrons vernachlässigen (→ "normaler" Zeeman - Effekt).

Man findet, daß die Coulomb - Wellenfunktionen auch Eigenfunktionen zu  $H$  sind,

$$H \psi_{nlm} = \left( -\frac{\hbar^2}{2m} \frac{\partial^2}{\partial r^2} - \frac{e^2}{r} + m \frac{e \hbar B}{2m_e c} \right) \psi_{nlm}$$

$$\omega_L = -\frac{eB}{2m_e c} = \frac{e_0 B}{2m_e c} \text{ heißt } \underline{\text{Larmor - Frequenz}}.$$

## 6) Spin - $\frac{1}{2}$ - Teilchen im Magnetfeld

Wir hatten gesehen, daß der Drehimpuls  $\vec{L}$  eines Teilchens zu einem magnetischen Moment führt,

$$\vec{\mu}_L = \frac{e}{2mc} \vec{L},$$

das an das Magnetfeld koppelt,

$$H = \frac{e}{2mc} \vec{L} \cdot \vec{B} = \vec{\mu}_L \cdot \vec{B}.$$

In ähnlicher Weise führt auch der Spin  $\vec{S}$  zu einem magnetischen Moment,

$$\vec{\mu}_S = g \frac{e}{2mc} \vec{S},$$

worin  $\vec{S} = \frac{1}{2} \vec{\sigma}$ , und einer entsprechenden Kopplung ans Magnetfeld,

$$H = g \frac{e}{2mc} \vec{S} \cdot \vec{B} = \vec{\mu}_S \cdot \vec{B}.$$

Es gibt aber a priori keinen Grund, daß die Kopplung dieselbe Stärke hat wie beim Drehimpuls - daher der Faktor  $g$ , genannt gyromagnetischer Faktor oder Landé-Faktor.

Experimentell findet man für das Elektron  $g_e \approx 2$ . Es gab nutzlose Versuche,  $g_e = 2$  klassisch durch eine Ladungsverteilung im Elektron zu erhalten. Die richtige Erklärung erhält man aus der relativistischen Gleichung für das Elektron (Dirac-Gleichung), woraus  $g_e = 2$  folgt.

QED-Korrekturen ergeben dann

$$g_e = 2 \left( 1 + \frac{\alpha}{\pi} - \dots \left( \frac{\alpha}{\pi} \right)^2 + \dots \right) \\ = 2.0023 \dots$$

Dieser Wert ist theoretisch sehr genau berechnet und stimmt mit dem Experiment überein. ( $\rightarrow$  genaueste Überprüfung der QED.)

Für das Proton ist das magnetische Moment analog

$$\vec{\mu}_s^p = g_p \frac{+e_0}{2m_p c} \vec{S}$$

und man würde naive  $g_p = 2$  erwarten.

Experimentell ist aber  $g_p \approx 2.8 g_e$ ,

$\rightarrow$  Proton ist nicht elementar!

Die Größe  $\frac{e_0 \hbar}{2mc}$  heißt Magneton.

Für  $m = m_e$  erhält man das sog.

Bohrsche Magneton  $\mu_B = \frac{e_0 \hbar}{2m_e c}$ .

für  $m = m_p$  das sog. Kernmagneton  $\mu_k$ .

H-Atom im Magnetfeld mit Spin

Betrachte H-Atom im Magnetfeld

(s.o.,  $\rightarrow$  Zeeman-Effekt), jetzt berücksichtige aber den Spin.

Wir vernachlässigen den diamagnetischen Term ( $\sim B^2(x_1^2 + x_2^2)$ , s.o.). Dann erhält man für die Radialwellenfunktion den Hamiltonoperator

$$H(B) = \left( -\frac{\hbar^2}{2m_0} \left( \partial_r^2 + \frac{2}{r} \partial_r \right) + \frac{1}{2m_0 r^2} \vec{L}^2 + V(r) \right) + \frac{e_0}{2m_0 c} B (L_3 + g_e S_3),$$

das mit  $\vec{L}^2, \vec{S}^2, L_3, S_3$  vertauscht.

Sei dann

$$R_{E,lm}(r) Y_l^m(\vartheta, \varphi) |\chi_s\rangle$$

Eigenzustand d. H-Atoms ohne Magnetfeld.



d.h.

$$H(B) \Big|_{B=0} R_{E,lm} Y_l^m | \chi_s \rangle = E R_{E,lm} Y_l^m | \chi_s \rangle$$

Mit

$$S_3 | \chi_s \rangle = s | \chi_s \rangle, \quad s = \pm \frac{1}{2}.$$

Dann ist mit Magnetfeld

$$\begin{aligned} H(B) R_{E,lm} Y_l^m | \chi_s \rangle &= \\ &= \left[ H(B) \Big|_{B=0} + \frac{e_0}{2m_0 c} B (L_3 + g_e S_3) \right] R_{E,lm} Y_l^m | \chi_s \rangle \\ &= \left[ E + \frac{e_0}{2m_0 c} B (m + g_e s) \right] R_{E,lm} Y_l^m | \chi_s \rangle \end{aligned}$$

→ Man erwartet also eine entsprechende Aufspaltung der Linien durch die Wechselwirkung des Spins mit dem Magnetfeld.

Dies wird experimentell gut bestätigt für starke Magnetfelder (→ Paschen-Back - Effekt).

Beachte: hier fehlt noch Spin-Bahn-Kopplung (wichtig bei schwachem Magnetfeld).